

(19) 日本国特許庁(JP)

(12) 公開特許公報(A)

(11) 特許出願公開番号

特開2008-162882

(P2008-162882A)

(43) 公開日 平成20年7月17日(2008.7.17)

(51) Int.Cl.

C04B 35/599 (2006.01)
B23B 27/14 (2006.01)
C04B 41/87 (2006.01)

F 1

C04B 35/58
B23B 27/14
B23B 27/14
C04B 41/87

302C
B
A
N

テーマコード(参考)

3 C04 G
4 G00 1

審査請求 未請求 請求項の数 5 O L 外国語出願 (全 10 頁)

(21) 出願番号 特願2007-334386 (P2007-334386)
(22) 出願日 平成19年12月26日 (2007.12.26)
(31) 優先権主張番号 0602810-4
(32) 優先日 平成18年12月27日 (2006.12.27)
(33) 優先権主張国 スウェーデン(SE)

(71) 出願人 505277521
サンドビック インテレクチュアル プロ
パティー アクティエボラーグ
スウェーデン国、エスイー-811 81
サンドビッケン
(74) 代理人 100099759
弁理士 青木 篤
(74) 代理人 100077517
弁理士 石田 敬
(74) 代理人 100087413
弁理士 古賀 哲次
(74) 代理人 100113918
弁理士 亀松 宏
(74) 代理人 100140121
弁理士 中村 朝幸

最終頁に続く

(54) 【発明の名称】セラミック材料およびセラミクス材料製切削工具インサート

(57) 【要約】

【課題】金属好ましくは耐熱超合金を機械加工するのに最適な組成を有し、良好な境界摩耗、許容できる逃げ面摩耗および十分な韌性を有する、金属切削工具用の窒化ケイ素系セラミック材料を提供する。

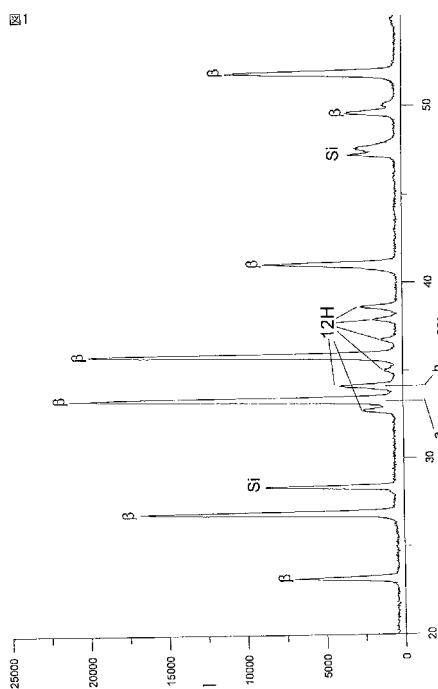
【解決手段】 - サイアロン ($\text{Si}_{6-z}\text{Al}_z\text{O}_z\text{N}_{8-z}$) と、結晶多形 12H の相と、非晶質または部分的に結晶質の粒界相とから成り、イットリウムを含むセラミック材料であって、

SEM写真の全面積に対する粒界相の面積の割合として測定される粒界相の量が 5 ~ 15 % であり、

Z 値が 0.7 以上で 1.5 未満であり、

Cu-K X線回折图形中の $2\theta = 34^\circ$ での結晶多形 12H の相のピーク高さと、同じ回折图形中の $2\theta = 33^\circ$ での - サイアロンのピーク高さの比として測定される結晶多形 12H の相の量が 2 ~ 20 % あり

、
イットリウム含有量が 3.5 ~ 5 重量%、好ましくは 3.9 ~ 4.5 重量% であることを特徴とするセラミック材料。



【特許請求の範囲】

【請求項 1】

- サイアロン ($\text{Si}_{6-z}\text{Al}_z\text{O}_z\text{N}_{8-z}$) と、結晶多形 12H の相と、非晶質または部分的に結晶質の粒界相とから成り、イットリウムを含むセラミック材料であって、

S E M 写真の全面積に対する該 S E M 写真中の粒界相の面積の割合として測定した粒界相の量が 5 ~ 15 % であり、

Z 値が 0 . 7 以上で 1 . 5 未満であり、

C u - K X 線回折图形中の 2 値 = 34° での結晶多形 12H の相のピーク高さと、同じ回折图形中の 2 値 = 33° での - サイアロンのピーク高さの比として測定される 10 、結晶多形 12H の相の量が 2 ~ 20 % であり、

イットリウム含有量が 3 . 5 ~ 5 重量 % 、好ましくは 3 . 9 ~ 4 . 5 重量 % であることを特徴とするセラミック材料。

【請求項 2】

Z 値が 0 . 7 ~ 1 . 3 であり、結晶多形 12H の相の量が 5 ~ 20 % である、請求項 1 に記載のセラミック材料。

【請求項 3】

Z 値が 1 . 2 以上で 1 . 5 未満であり、結晶多形 12H の相の量が 2 ~ 15 % である、請求項 1 に記載のセラミック材料。

【請求項 4】

請求項 1 から 3 までのいずれか 1 項記載のセラミック材料で作られた、切屑を発生する金属機械加工用の切削工具インサート。

【請求項 5】

T i N 、 T i (C , N) 、 A l₂O₃ または (T i , A l) N またはこれらの組み合わせの被覆を備えている、請求項 4 に記載の切削工具インサート。

【発明の詳細な説明】

【技術分野】

【0001】

本発明は、良好な境界摩耗、許容される逃げ面摩耗および十分な韌性を有し、耐熱超合金 (H R S A) とも呼ばれるニッケル基およびコバルト基の材料を機械加工するのに好適な窒化ケイ素基セラミック材料に関する。

【背景技術】

【0002】

切削工具用途のセラミック材料は、高温硬さが高いため、高硬さで高温引張強さが高く温度拡散率が低い被加工材の機械加工に好適であり、特に、耐熱超合金 (H R S A) とも呼ばれる種類のニッケル基およびコバルト基の材料などの自硬性材料の機械加工に好適である。

【0003】

切削工具用の多くの窒化ケイ素基の材料は、焼結助剤として酸化アルミニウム (A l₂O₃) を使用して製造されている。アルミニウムおよび酸素は、窒化ケイ素の結晶構造中でそれぞれケイ素および窒素と置換する能力を有し、それにより Si - A l - O - N からなるいわゆるサイアロンセラミックを作り出し、これは、さらにカチオン M^{n+} により安定化される。ここで、M e は、Y、Y b、D y、L u、L i、C a、M g、S c などの好適なイオン半径 ($r < 1 . 0$) を持つ多くの (希土類) 金属およびランタニドから選択できる。

【0004】

多くのサイアロン相が検出および特性解析されている。例えば、Izhevskiy V A, Genova L A, Bressiani J C 及び Aldinger F の "Progress in SiAlON ceramics", J.Eur.Ceram.Soc.20,2275-2295(2000) を参照。しかし、切削工具材料の主相としては、R_xSi_{12-(m+n)}A l_(m+n)O_nN_(16-n) (R = イオン半径 1 . 0 未満の上述の金属またはラントニドの

10

20

30

40

50

1種、 $1.0 < m < 2.7$ 、 $n < 1.2$)で表わされる α -サイアロン相と、 β -サイアロン相($\text{Si}_{6-z}\text{Al}_z\text{O}_z\text{N}_{8-z}$)($0 < z < 4.2$)が従来どおり使われている。

【0005】

焼結中に、用いた原料(通常、窒化ケイ素、アルミナおよび AlN または AlH 、 AlR などのある種のサイアロン「多相体」(または「結晶多形」)の混合物)は、金属またはランタニドの酸化物と共に遷移相としての溶融物を形成し、これから および β -サイアロン相が結晶化し、おそらくは YAG (上述の金属イオン R として Y が使用される場合)、メリライト、 B 相、 AlH などの他の相も結晶化する。焼結の後、結晶粒間には粒界相が残る。生じる粒界相の量は、使用される原料の組成ならびに焼結条件に影響される。

【0006】

金属イオンは、 β -サイアロン相を安定化するほかに、焼結中のサイアロン結晶形成の触媒としても機能し、通常は 相の細長いサイアロン粒の形成も助けるが、 β -サイアロンの細長い粒もつくられる。これについては、例えば、Fang-Fang X, Shu-Lin W, Nordberg L-OおよびEkstroem T, "Nucleation and Growth of the Elongated '-SiAlON", J. Eur. Ceram. Soc. 17(13), 1631-1638(1997)を参照されたい。用いる金属イオンの選択が非晶質相の性質に影響を与えることも明らかである。Fang-Fang X, Shu-Lin W, Nordberg L-O及びEkstroem T, "Nucleation and Growth of the Elongated '-SiAlON", J. Eur. Ceram. Soc. 17(13), 1631-1638(1997); Sun E Y, Becher P F, Plucknett K P, Hsueh C-H, Alexander K BおよびWaters S B, "Microstructural Design of Silicon Nitride with Improved Fracture Toughness II: Effects of Yttria and Alumina Additives", J. Am. Ceram. Soc. 81(11)2831-2840(1998); Hong Z L, Yoshida H, Ikuhara Y, Sakuma T, Nishimura TおよびMitomo M, "The effect of additives on sintering behavior and strength retention in silicon nitride with RE-disilicate", J. Eur. Ceram. Soc. 22, 527-534(2002); Becher P F, Waters S B, Westmoreland C G, Riester L, "Compositional Effects on the Properties of S-Al-RE-Based Oxynitride Glasses (RE=La, Nd, Gd, Y or Lu)", J. Am. Ceram. Soc. 85(4), 897-902(2002)を参照。 β -サイアロン相 $\text{Si}_{6-z}\text{Al}_z\text{O}_z\text{N}_{8-z}$ の Z 値は、硬さ、韌性および焼結材料中の粒度分布に影響を与え、Ekstroem T, Nygren M, "SiAlON ceramics", J. Am. Ceram. Soc. 75(2), 259-276(1992)を参照されたい。 Z 値は、 Si_3N_4 格子中に溶解している Al と O の量に関連がある。 Z の理論値は、出発物質の組成から計算できる。焼結後の サイアロン相の実際の Z 値は、X線回折分析により測定できる。測定された Z 値は常に計算値より幾分低いが、これは、粒界相が サイアロン相よりも酸素およびアルミナを多く含んでいるためである。

【0007】

英国公開特許GB-A-2157282号は、 β -サイアロン、 TiN および SiC などの耐熱添加剤のある場合と無い場合があり、結晶質 AlN のある場合と無い場合があるが、常に「結晶多形」サイアロン相を含む、金属切削工具への使用に好適な種類のサイアロン材料を開示している。

【0008】

米国特許第5,370,716号は、耐熱合金および鉄鉱の高速機械加工における切削工具として使用する、 β -サイアロン($\text{Si}_{6-z}\text{Al}_z\text{O}_z\text{N}_{8-z}$ で $0 < z < 3$)および粒界相の組成を有するセラミック材料を開示している。

【0009】

米国特許第5,965,471号は、サイアロン粒および0.2~2.0 vol%の粒界相を含んでなる、耐熱合金の高速機械加工用の焼結セラミック材料を開示している。前記サイアロン相の少なくとも8.0 vol%が、 Z 値が1~1.5である β -サイアロンである。セラミック材料は、1530を超えるビッカース硬度HV1を有し、ガス圧焼結により製造される。

【発明の開示】

【発明が解決しようとする課題】

【0010】

10

20

30

40

50

本発明の目的は、金属、好ましくは耐熱超合金を機械加工するのに最適な組成を有する、良好な境界摩耗、許容できる逃げ面摩耗および十分な韌性を有する、金属切削工具目的の窒化ケイ素系セラミック材料を提供することである。

【課題を解決するための手段】

【0011】

本発明は、 $\text{Si}_{6-z}\text{Al}_z\text{O}_{z-8}$ と、結晶多形12Hの相と、非晶質または部分的に結晶質の粒界相とから成る基本構造に、3.5~5重量%、好ましくは3.9~4.5重量%のイットリウムを含むセラミック材料を提供する。 $\text{-}\text{サイアロン}$ 相はZ値が0.7以上で1.5未満である。粒界相の量は5~15%である。結晶多形12Hの相の量は、バックグラウンドを考慮に入れ、X線回折図形中の2θ値 = 34°でのCuK α ピーク(a)のピーク高さと、同じ回折図形中の2θ値 = 33°での $\text{-}\text{サイアロン}$ によるピークのピーク高さの比として測定して2~20%である。さらに、本発明の複合材料は、YAG、B相および/またはメリライトを最大3%まで含むこともある。

10

【0012】

本発明の材料は、耐熱超合金(HRSA)の機械加工用の切削工具インサートに特に有用である。そのような切削工具インサートは、TiN、Ti(C,N)、Al₂O₃または(Ti,Al)Nあるいはこれらの組み合わせの被覆を備えていてよい。

【0013】

本発明によるサイアロン材料は、混練、加圧成形および焼結などの粉末冶金法により作られる。好適な比率の窒化ケイ素、アルミナ、イットリアおよび窒化アルミニウムまたはポリフェーズ(結晶多形)21Rの粉末を混練し、加圧成形してインサートプランクにする。インサートプランクを、粉末床に埋め込まずに焼結トレー上に置き、別々に予備焼き(burn off)し、ガス圧焼結炉で焼結する。焼結の最後の部分は、窒素圧力下で、1700~1900で行なう。

20

【0014】

焼結後、プランクを研磨し、所望の形状・寸法の金属切削用インサートにする。インサートは、当分野に公知のとおり、TiN、Ti(C,N)、Al₂O₃または(Ti,Al)Nあるいはこれらの組み合わせの被覆を任意に備えている。

30

【0015】

本発明の代表的な実施形態において、Z値は0.7~1.3、好ましくは0.7以上で1未満であり、結晶多形12Hの相の量は5~20%、好ましくは6~15%である。

【0016】

本発明の代表的な実施形態において、Z値は1.2以上で1.5未満、好ましくは1.25以上で1.45未満であり、結晶多形12Hの相の量は2~15%、好ましくは2~12%である。以下において、「結晶多形12Hの相」を「12H結晶多形」あるいは単に「12H」とも略称する。

【実施例】

【0017】

市販のサイアロン切削工具である材料EおよびGを除き、表1aに示した配合組成の粉末原料B、C、FおよびHを、サイアロン混練媒体を利用して水中で混練した。組成物CおよびHは同じ原料配合組成を有するが、混練の程度が異なる。組成物Hに、より強い混練を施し、それによりスラリー中の酸素含有量を増加させた。有機バインダーをスラリー中に混合し、次いで、噴霧乾燥により造粒した。

40

【0018】

粉末を一軸冷間プレスして、未処理体を形成し、次いで別々に650で予備焼き(burn off)した。予備焼き後の生成形体(green body)を、窒素圧力下で、最大焼結温度1810で焼結した。焼結体を研磨加工して、ISO RPGX120700T01020タイプのインサートにした。

【0019】

50

多孔性は、材料の顕微鏡組織観察により求めた。Cu K 線を用いたX線回折によりZ値を測定した。また、図1に示したように、回折角 $2\theta = 34^\circ$ での12Hの回折ピーク(図1中のb)の高さと、回折角 $2\theta = 33^\circ$ での α -サイアロンの回折ピーク(図1中のa)の高さとの比として、12H結晶多形の量を測定した。

【0020】

図2は、サイアロン材料Cの後方散乱モードにおける倍率4000倍でのSEM(走査電子顕微鏡)写真である。灰色の領域は α -サイアロンおよび12H結晶多形であり、白色の領域は粒界相である。この図の全面積に対するこの相の面積の割合として測定した粒界相の量は10%である。

【0021】

表1bに、焼結した材料の組成および諸性質をまとめて示す。

【0022】

【表1a】

10

表1a 原料の配合組成(wt%)

材料	Si_3N_4	Al_2O_3	21R-F	Y_2O_3	TiN
B	58.35	7.9	14.54	4.24	16.3
C	68.62	9.28	17.11	4.99	0
E	N/A	N/A	N/A	(7%Yb)	0
F	68.86	15	10.69	4.99	0
G	N/A	N/A	N/A	N/A	0
H	68.62	9.28	17.11	4.99	0

N/A:データなし

20

【0023】

【表1b】

30

表1b 焼結材料の組成および性質

材料	実測Z値	β -サイアロン	12H wt% ⁵⁾	α -サイアロン	Y wt% ⁵⁾	多孔性 ²⁾	粒界相 wt% ³⁾
		wt% ⁵⁾		wt% ¹⁾			
B	0.94	N/A ⁴⁾	20	—	3.64	A02/B00	9
C	0.9	N/A ⁴⁾	15	—	3.93	A02/B00	14
E	0.59	70	0	30	7(Yb)	A00/B00	11
F	1.4	100	0	—	3.93	A04/B00	10
G	1.7	100	0	—	3.5	A02/B00	13
H	1.3	N/A ⁴⁾	5	—	3.93	A02/B00	14

N/A:データなし

40

【0024】

1) X線回折図形中の2θ値 34° での12Hピークの高さと同じX線回折図形中の2θ値 33° での α -サイアロンピークの高さの比として測定。

2) ISO 4505 Standard on Metallographic Determination of Porosityによる。

3) SEM写真の全面積に対する同写真中のこの相による面積の割合として測定。

4) 12Hのパーセンテージが定量的に測定できないため、 α -サイアロンの比率を測定することが不可能。

5) X線回折により検出可能な、試料中の結晶質材料の比率として表示。

【0025】

50

〔実施例1〕

表1aの組成B、CおよびFによるインサートを、速度225m／分、送り0.1mm／回転および切り込み深さ2.5mmで、Inconel 718の長手方向に沿った旋削加工で試験した。冷却液を使用した。1試験サイクルが加工時間30秒に相当する試験サイクルでインサートを試験した。毎回新品のインサートを用いて2回の試験を行ない、1mmの境界摩耗または0.5mm逃げ面摩耗深さ(VB)までに、各インサートが耐えたサイクルの数を記録した。表2に、得られた寿命を2回の試験の平均値(分)で示す。サンプルCは、逃げ面摩耗および境界摩耗に対する耐性の点で明らかに優位を示した。サンプルBは、組成の点でサンプルCと基本的に同じであるがTiNが添加されていて、著しい境界摩耗を示し、これはサンプルBにとって寿命を限定する因子であった。

10

【0026】

【表2】

表2

材料	平均寿命 (分)
B	1.5
C	3.5
F	2.75

20

【0027】

〔実施例2〕

表1aの組成B、C、FおよびGによるインサートを、速度280m／分、送り0.2mm／回転および切り込み深さ2.5+2.5mmで、Inconel 718の肩部の両面切削で試験した。冷却液を使用した。1試験サイクルが上記の面加工に相当する試験サイクルで、毎回新品のインサートを用いた3回の試験を行なった。刃の破壊または1.0mm以上の逃げ面摩耗深さ(VB)まで各インサートが耐えたサイクルの数を記録した。表3に、全3回の試験の平均値を示す。材料Cはここでも、更に組成Hの材料が、試験した材料中で最良の性能であった。

30

【0028】

【表3】

表3

材料	平均寿命 (サイクル数)
B	6.3
C	13.7
F	7
G	9.7
H	15.3

40

【0029】

〔実施例3〕

表1aの組成C、E、FおよびGによるインサートを、速度250m／分、送り0.2mm／回転および切り込み深さ2.5+2.5mmで、Inconel 718の肩部の両面切削で試験した。冷却液を使用した。1試験サイクルが上記の面加工に相当する試験サイクルで

50

、毎回新品のインサートを用いて3回の試験を行なった。刃の破壊または1.0mm以上の逃げ面摩耗深さ(VB)まで各インサートが耐えたサイクルの数を記録した。表4に、結果を全3回の試験の平均値で示す。

【0030】

材料C(Z値=0.9の-サイアロン)は材料Eに非常に近い性能を有するが、後者はZ値=約0.6の市販の-/サイアロンであり、通常であれば材料Cよりも著しく高い韧性を持つと考えられるものである。

【0031】

【表4】

10

表4

材料	平均寿命 (サイクル数)
C	9.7
E	10
F	6
G	8.7

【0032】

20

〔実施例4〕

表1aの組成CおよびEによるインサートを、速度225m/分、送り0.124mm/回転および切り込み深さ1.5mmで、Inconel 718の長手方向に沿った旋削加工で試験した。冷却液を使用した。1試験サイクルが加工時間30秒に相当する試験サイクルでインサートを試験した。毎回新品のインサートを用いて3回の試験を行ない、0.5mmの境界摩耗長さまたは逃げ面摩耗深さ(VB)までに、各インサートが耐えたサイクルの数を記録した。表5に、試験結果を平均値で示す。サンプルCは、サンプルEよりも長い寿命を示した。

【0033】

【表5】

30

表5

材料	平均寿命 (分)
C	3.75
E	3.2

【図面の簡単な説明】

40

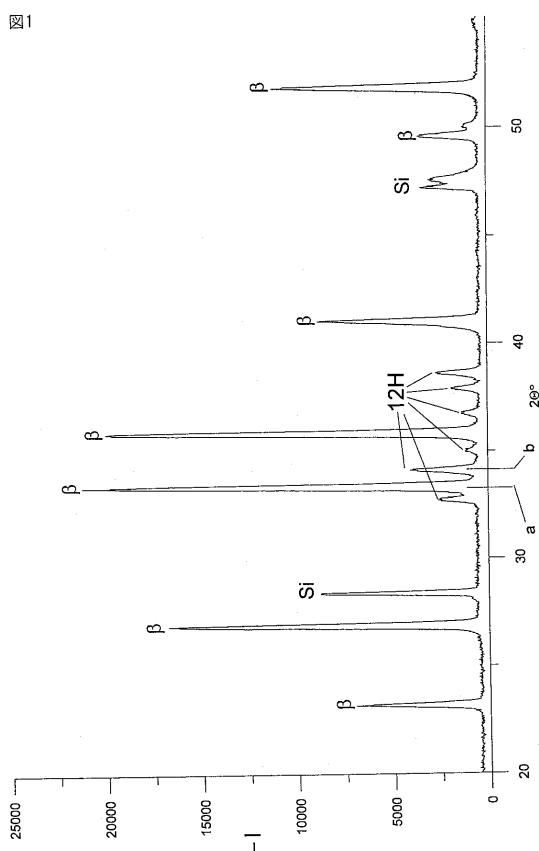
【0034】

【図1】図1は、本発明によるサイアロン材料のX線回折图形を示し、が-サイアロンを、12Hが結晶多形12Hの相(6AlN·SiO₂)を表し、Siが内部標準として添加したケイ素のピークを表す。

【図2】図2は、本発明によるサイアロン材料の後方散乱モードでの倍率4000倍のSEM(走査電子顕微鏡)写真であり、灰色の粒が-サイアロン(若干の場合には12H結晶多形)であり、明るい領域が粒界相である。

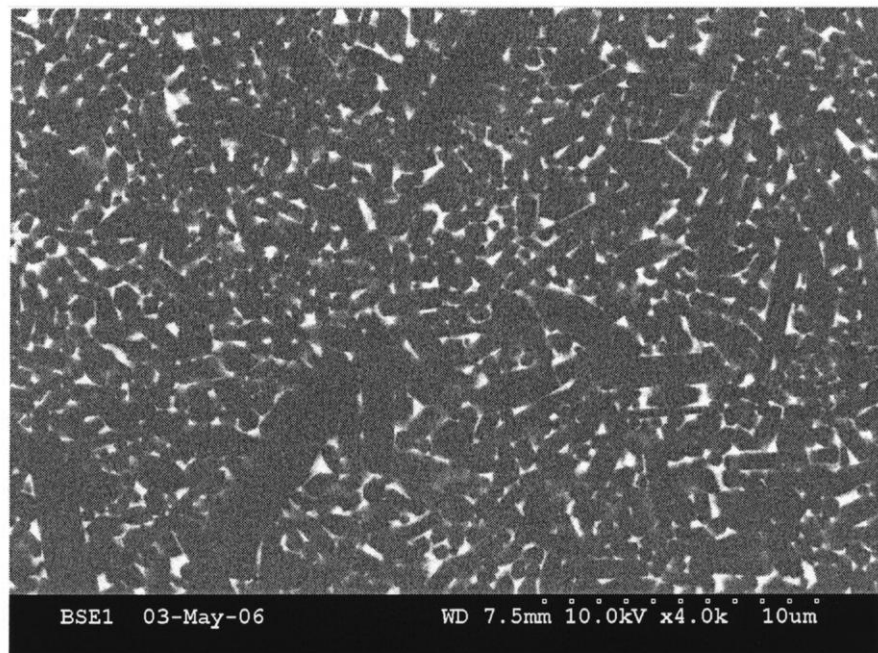
【図1】

図1



【図2】

図2



フロントページの続き

(74)代理人 100111903

弁理士 永坂 友康

(72)発明者 エリク オーソルズ

スウェーデン国, エスエー 141 31 フデンゲ, リングベーゲン 39

F ターム(参考) 3C046 FF04 FF10 FF13 FF16 FF33 FF42 FF47 FF55

4G001 BA03 BA09 BA32 BA38 BA51 BA52 BB01 BB51 BB52 BC17

BC23 BC24 BC34 BC43 BC49 BC52 BC54 BC55 BC72 BD18

BE03 BE26

【要約の続き】

【選択図】図 1

【外国語明細書】

2008162882000001.pdf